

## ガリ漫食に関する研究

岐阜大学工学部 河村三郎

## 1. ガリ床面の時間的変動

ガリ床面に沿って流下方向に  $x$  軸をとり、流砂の連続式、流砂量公式と Brown 形式の式、抵抗法則と Manning 公式、および流水に関する運動方程式から次の熱伝導の式を誘導した。

$$\frac{\partial z}{\partial t} = K \frac{\partial^2 z}{\partial x^2} \quad (1), \quad \therefore K = \frac{7(1+2\beta)\rho g g}{20(1-\lambda)g} U_*^{2(\beta-1)} \quad (2)$$

$\beta$  と  $\rho$ : 流砂量公式から決定された常数、 $g$ : 重力の加速度、 $g$ : 単位幅流量、 $U_*$ : 摩擦速度、 $\lambda$ : 空けき率、 $g = U/U_*$ 、 $U$ : 平均流速。 $\beta$  の値については、軽量骨材 (1.00 mm), 河川砂 (0.44 mm), 硅砂 (1.18 mm) を使用してガリ漫食の実験から  $\beta = 2.0$  が得られた。また  $K$  の値については、軽量骨材:  $K = 8.86 \times 10^{-1} \text{ m}^2/\text{sec}$  (5 回の実験の平均値), 河川砂:  $K = 1.82 \times 10^{-1} \text{ m}^2/\text{sec}$ , (5 回の実験の平均値), 硅砂:  $K = 1.26 \times 10^{-2} \text{ m}^2/\text{sec}$  (16 回の実験の平均値) が得られた。

Figs. 1, 2 が  $(x=0)$  の場合  $K > 0$  で式 (1) を解き、つきの解析解が得られた。

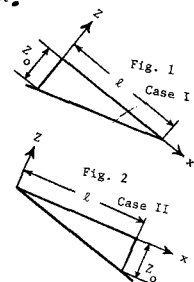
## Case I (Fig. 1)

$$\frac{z(x,t)}{z_0} = -\left(1 - \frac{x}{l}\right) + \sum_{n=1}^{\infty} \frac{2}{n\pi} \exp\left(-\frac{n^2\pi^2 K t}{l^2}\right) \sin \frac{n\pi x}{l} \quad (3)$$

## Case II (Fig. 2)

$$\frac{z(x,t)}{z_0} = -\frac{x}{l} + \sum_{n=1}^{\infty} \frac{2}{n\pi} (-1)^{n+1} \exp\left(-\frac{n^2\pi^2 K t}{l^2}\right) \sin \frac{n\pi x}{l} \quad (4)$$

$\pi\sqrt{Kt}/l$  をパラメータとして式 (3) と式 (4) の関係を Figs. 3, 4 で示す。



## 2. ガリ漫食による流出土砂量

(A) 長方形断面: ガリの幅を  $B (= \text{const})$  とするとき、

流出土砂量  $Q_G$  は、つきの式で与えられる:

$$Q_G = \int_0^l z(x,t) \cdot B dx \quad (5)$$

i) Case I: 式 (5) と式 (3) を代入して積分すると、

$$\frac{Q_G}{B z_0 l} = \frac{1}{2} - \sum_{n=1}^{\infty} \frac{2[1-(-1)^n]}{n^2 \pi^2} \exp\left(-\frac{n^2 \pi^2 K t}{l^2}\right) \quad (6)$$

ii) Case II: 式 (5) と式 (4) を代入して積分すると、

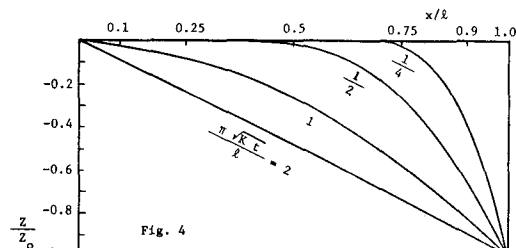
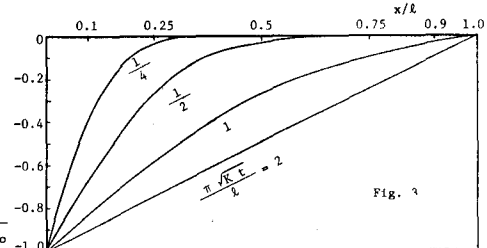
式 (6) と同一の結果が得られる。式 (6) は  $t \rightarrow \infty$

のとき  $(Q_G/B z_0 l) = 1/2$  となる。また  $t=0$  のとき、

$\sum_{n=1}^{\infty} 2[1-(-1)^n]/n^2 = \pi^2/2$  であるから  $(Q_G/B z_0 l) = 0$  とな

る。 $Q_G/B z_0 l \approx \sqrt{Kt}/l$  との関係を示すと、

Fig. 5 のようである。 $t=t_1$  から  $t_2$  までの間に流出する土砂量は、式 (7) のようになる:



$$\frac{\Delta Q_G}{B Z_0 l} = \sum_{n=1}^{\infty} \left\{ \frac{2[1 - (-1)^n]}{n^2 \pi^2} \exp\left(-\frac{n^2 \pi^2 K t_1}{l^2}\right) - \sum_{n=1}^{\infty} \left\{ \frac{2[1 - (-1)^n]}{n^2 \pi^2} \exp\left(-\frac{n^2 \pi^2 K t_2}{l^2}\right) \right\} \right\} \quad \dots \quad (7)$$

$\sqrt{K t_1}/l$  をパラメータ -  $n$  とし  $\Delta Q_G/B Z_0 l \times \sqrt{K t_2}/l$  の関係を示すと Fig. 6 のようである。

(B) 三角形断面: Fig. 7 のようなくがりの側面 = 断面 = 1 : m とする。  $B = 2mz$ ,  $A = Bz/z = mz^2$ ,  $L = Bz$  とする  $Q_G$  は、  $Q_G = \int_0^L A dx = m \int_0^L z^2 dx \dots \dots (8)$   
式(8) に式(3) を代入して、 式(9) が得られる。

$$\frac{Q_G}{m z_0^2 l} = \frac{1}{3} - \sum_{n=1}^{\infty} \frac{4}{n^2 \pi^2} \exp\left(-\frac{n^2 \pi^2 K t}{l^2}\right) + \sum_{n=1}^{\infty} \frac{2}{n^2 \pi^2} \exp\left(-\frac{2n^2 \pi^2 K t}{l^2}\right) \dots \dots (9)$$

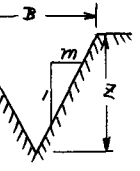


Fig. 7

$t \rightarrow \infty$  のとき  $(Q_G/m z_0^2 l) = 1/3$  となる。 $2mz_0 = B_0$  のとき  $(Q_G/B_0 z_0 l) = 1/6$  となる。 $t = 0$  のときには、  $\sum_{n=1}^{\infty} 1/n^2 = \pi^2/6$  であるから  $(Q_G/m z_0^2 l) = 0$  となる。 $m$  はパラメータ -  $n$  とし、  $Q_G/z_0^2 l \times \sqrt{K t}/l$  の関係を示すと Fig. 8 のようである。式(8) に式(4) を代入しても、式(9) が得られる。

文献: 1) 河村・横山・日柄, “かり川浸食に関する研究,”第28回年次学術講演会講演概要集, 第2部, 土木学会, 昭和48年10月, pp. 329-330.

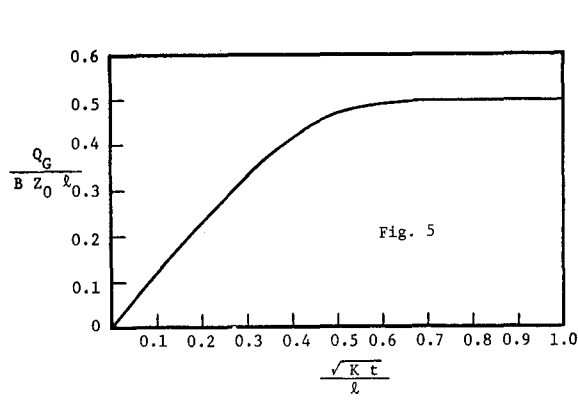
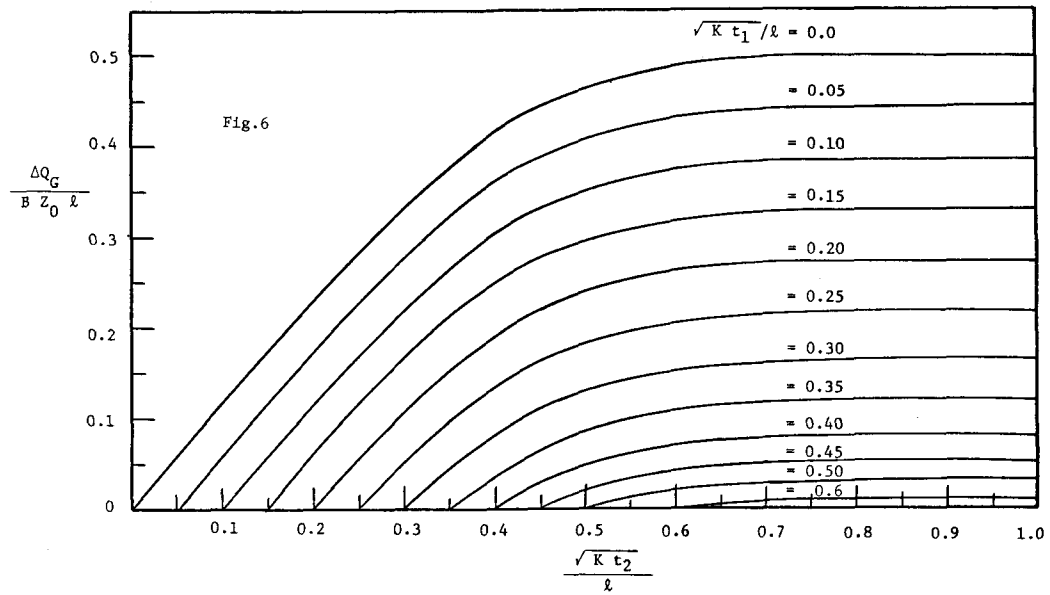


Fig. 5

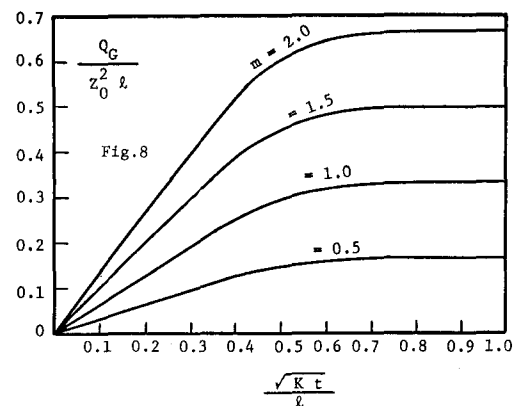


Fig. 8